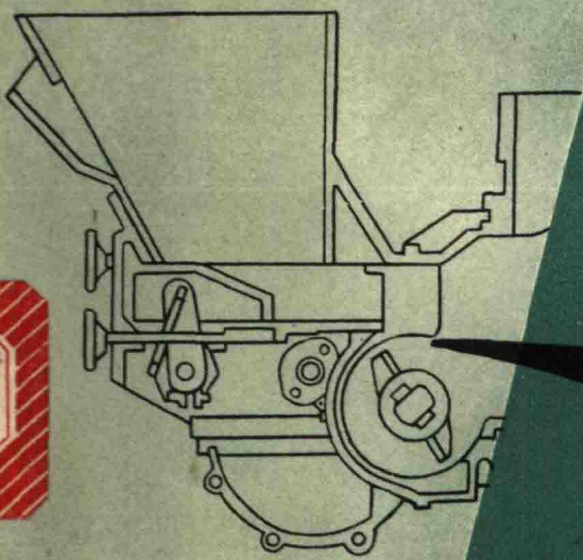


抛煤机锅炉的运行

第一机械工业部汽轮机锅炉研究所编译



上海市科学技术編譯館

前　　言

机械抛煤燃烧是适用于中小型锅炉上的一种燃烧方式，但是近几年来，美国在较大容量的锅炉上也有用这种燃烧方式的。根据国外经验，抛煤燃烧之所以至今还能获得广泛的应用，主要是它具有下列优点：

1. 锅炉金属用量少，初建费用低；
2. 负荷适应性好，调节灵敏；
3. 抛煤机燃烧防结焦性较好，对煤的粘结性能要求不高。

与此同时，抛煤机也存在一些缺点，如飞灰及飞灰含碳率较高、对煤的水份及颗粒度要求亦较严格等。

因此，就发展锅炉产品方面来看，抛煤机锅炉是值得深入研究的一种品种。

解放以来，在党的正确领导下，我国锅炉工业得到了蓬勃的发展。到目前为止，我国生产的中小容量锅炉中采用了抛煤机的机组为数不少，尤其在近几年来生产的 65 吨/时和 35 吨/时中等容量锅炉上，也多采用了抛煤机。近来，在我国各电厂、设计制造企业和研究机构的协同努力下，对国产抛煤机锅炉进行了不少试验研究工作，改进了它的结构，并提高了性能及安全可靠性。

为了汲取国外抛煤机锅炉的经验，进一步改进抛煤机的设计，使已投入运行的机组的经济性进一步得以提高，我所于 1961 年编译出版了《抛煤机运行经验》的译丛。其中主要收集了美国、英国和苏联抛煤机锅炉运行方面的文献以及一部份抛煤机结构改进和设计、试验方面的文章；出版后，受到国内有关专业人员的欢迎，并希望介绍更多有关方面的国外经验的文章。根据这一要求，我所在今年又组织了力量，编译成了这本《抛煤机锅炉的运行》译丛，作为《抛煤机运行试验》译丛的补充和续编。在这本译丛中重点翻译了关于抛煤机锅炉设计及试验研究方面的文章，并收集了一些最新的技术文献，最后，还介绍了一台功率最大、采用抛煤机的 295 吨/时大容量锅炉。

我们希望通过这两本译丛的出版能为有关专业技术人员提供一些资料，以供研究及运行人员参考。但由于水平所限，这本译丛在选题和翻译方面，一定还有许多不当之处，谨希读者指正。

第一机械工业部汽轮机锅炉研究所

1968 年 11 月

目 录

抛煤机鍋炉的爐膛吸热(第一部分)	1
抛煤机鍋炉的爐膛吸热(第二部分).....	20
在抛煤条件下燃燒各种燃料的模化試驗.....	38
改进的飞灰取样設備	47
抛煤机鏈条炉排鍋炉的燃燒及运行.....	59
帶有 ПМЗ-ЛПР 的 СУ-20-39 鍋炉的試驗結果	74
带摆动式炉排的抛煤机鍋炉.....	81
295 吨/时燃用褐煤的抛煤机鍋炉	85

抛煤机鍋炉的炉膛吸热

第一部分

根据炉膛排出烟气的焓值測定炉膛吸热率

J. W. 迈尔斯, R. C. 柯萊

引言

为了测定炉膛吸热率和炉墙上热交换的分布情况，曾利用印第安那州淮丁市碳化物化学材料公司发电厂中的2号鍋炉，进行了試驗。这台鍋炉为双汽包式，蒸发量为165,000磅/时，由抛煤机移动炉排燃燒。这是美国机械工程学会炉膛性能专题研究委员会所担任的第五次研究。以前所做的研究工作中有三次是关于煤粉鍋炉，一次是关于天然气燃燒的爐子。这一次的研究是第一次用抛煤机燃燒的鍋炉来进行的。

这篇文章列出，矿务局燃燒研究組为了研究影响炉膛性能的因素，与炉膛性能专题研究委员会合作进行的研究中所得出的炉膛吸热率的試驗結果。关于炉墙上热交换分布，在另一篇文章中发表。

在上述鍋炉上曾做了15次試驗，以测定負荷、过量空气和二次风的状况改变对于炉膛吸热所产生的影响。由于時間的限制，沒有研究給煤机速度及煤的抛程变化的影响。因此，給煤机調節系采用正常的工作程序。

炉膛吸热定义为对流傳递到炉壁(不包括防渣管)的热量，和輻射傳递到炉壁(包括防渣管)的热量。炉膛中的吸热是可用淨热量与热損失之差，后者包括所有燃燒产物中的显热以及輻射与对流損失。采用的方法系将美国机械工程学会陆用鍋炉試驗法規第7节中的方法b，略加修改。

可用淨热量系从整个鍋炉的总热平衡求得，应用了在空气預热器出口处的烟气的温度和成分，以及所产生的蒸汽的流量和焓。要計算从炉膛中出来的烟气所含显热，須先测量在炉膛出口处的防渣管前面的烟气温度和成分，这些数据系用矿务局为試驗爐子而設計的設備和方法来測定的。

除在炉膛出口处的烟气温度和成分外，有三次試驗曾在爐子的中段取得类似的数据，其目的系研究燃燒室中的流体流动与热交换的状况。为了研究操作条件对飞灰濃度的影响，并提供物质平衡計算所需要的数据，曾由西部沉淀公司进行数次測量烟气中含有多少烟灰的試驗。全部的烟气温度和成分的数据及計算出的結果，在文章中用表格列出。

試驗方法

爐子的說明

图1为鍋炉的側視圖，表示各組成部分的布置。爐子的高度，从爐排的頂部一直至爐膛出口处的防渣管的中部，約 $25\frac{1}{2}$ 呎。寬度为18呎 $6\frac{3}{4}$ 吋，从前墙至后墙的深度为14呎6吋。爐膛容积为6,600立方呎。后炉墙从下汽包至出口几乎全部水冷却，用 $3\frac{1}{4}$ 吋的管子按 $3\frac{3}{8}$ 吋的中心距組成。前墙及下汽包以下的后墙用 $3\frac{1}{4}$ 吋的管子按6吋的距离組成。二側墙用 $3\frac{1}{4}$ 吋按6吋中心距組成。所有墙的后面均有3吋厚的磚，靠着管子。后墙的管子向前弯，并分3排，形成防渣管，两排管子之間的中心距为12吋，每排中的管子中心距为 $10\frac{1}{8}$ 吋。防渣管从鍋炉前面进入联箱。从后墙至联箱的距离为13呎10吋，爐膛出口面积为241平方呎。爐膛水冷面的投影面积，包括爐膛出口的面积，为1,240平方呎。用馬立金(Mullikin)方法計算的有效的輻射受热面为1,752平方呎。

爐子用带有前面連續排灰移动式爐排的抛煤机燃燒，爐排为二副。前墙上装有六个可以个别調節的給煤机，煤从上面的煤斗通过独立的导管送到各給煤机。从除尘器及鍋炉的最后一部分的烟道中出来的灰渣，通过裝在爐排上高度为18吋的噴嘴重行噴入爐膛。除尘器有十个噴嘴，灰斗有八个噴嘴，除靠近角的地方不裝噴嘴外，各噴嘴沿爐墙均匀地

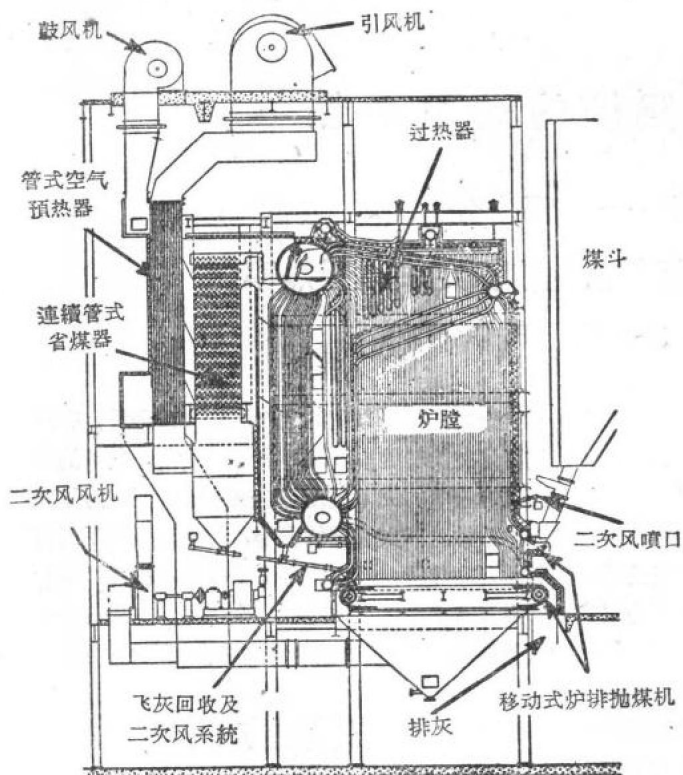


图1 碳化物化学材料公司2号锅炉侧视图

排列。灰渣回收系统仅能連續复射。在随着灰渣进入的空气外，二次风从均匀地装在炉排上面高30呎处的后墙上的十五个喷嘴、装在炉排上8呎4吋高处的前墙上的十一个喷嘴及装在给煤机下面的十二个喷嘴送入炉内。二次风系統可以用冷空气，亦可用預热的空气。

燃燒空气由鼓风机供給，并在管式空气預热器中預热。屋頂上，在空气預热器的出口处与烟囱之間，裝着引风机。高压二次风另用一个鼓风机来供給空气。

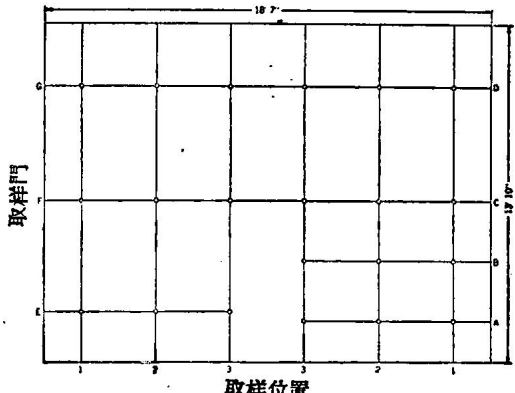


图2 炉膛出口处的取样点的分布

測点的位置

測量炉膛出口处的烟气温度和成分，系使用水冷却的高速热电偶探針，探針插入觀察門和在炉膛两侧下面的防渣管以下約9吋位置上，特地开出的孔內。觀察門共有七个，每一个門在三个位置上进行測量，得出图2所示的分布情况，該图是从前牆及上面观看的、与水冷壁管子平行的平面炉膛出口图。取样的門用字母表示，代表同等面积的位置則用数字来表示。由于炉子外面有障碍物，右面不能在选择的位置上开孔。因此，在A和B两处进行测量，并算出重量以求得炉膛出口处的平均数值。

为了研究炉膛內流体流动和热交换的状态，曾于三次試驗中，在炉排上面高度約15呎处測量烟气温度和成分。取样点的分布与在炉膛出口处的分布相似，但不完全相同，图3表示一个炉膛横剖面的分布情况。

在引风机出口测定烟气的成分，并在空气預热器的出口测定溫度和成分，以便

提供計算整个鍋爐的热平衡所需数据。空气預热器出口处的測量，是在导管中六个孔中进行的，每个孔中用两个測点。

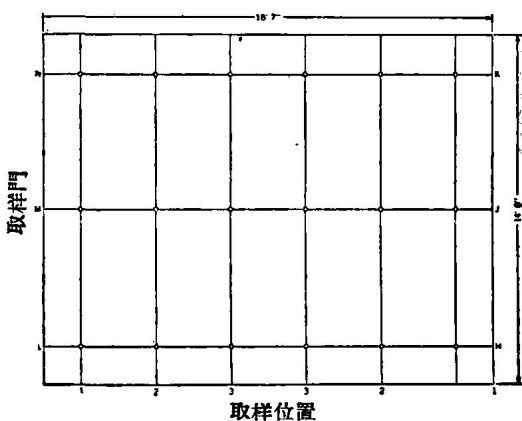


图3 炉膛中段的取样点的分布

仪表设备与分析方法

測定烟气溫度和成分的仪表设备和方法，近來曾在論文中討論过。本文仅討論那些与以前所用方法有所不同的步驟。

由于这一电站不用煤秤，燃燒率不能使用通常的直接秤出重量的方法。因此，对空气預热器出口

的烟气进行了精确的测量，以便用整个锅炉的热平衡来计算热输入。我们认为，裸的鎢-鉻熱電偶很适用，因为，烟气温度较低，而且导管的絕热很好，由热电偶的輻射引起的誤差因此可以減到最低限度。测量空气預热器热平衡所需的其他的气体和空气温度的方法，是以各导管中裝用电阻溫度計，并将它们接到电站控制盘的記錄表上。至于蒸汽流量，蒸汽的温度和压力、风压、以及其他有关数据，则用电站中普通的仪表来测量。

空气温度的测定是在鼓风机与空气預热器之間的导管中抽出空气，用于湿球溫度計来进行的。

各給煤机共有 6 个輸煤管，煤样从每一个輸煤管取出。尽量按照美国材料試驗学会所訂規范，在一定的时间用钩子取出代表輸煤管全部深度的流过量。取出的試样被送到試驗室，进行篩分析。对灰坑的排出物、复射的灰渣以及从炉排上排出的灰，亦取出試样，进行分析。

在數次試驗中，烟灰濃度由西部沉淀公司测定，测定方法系按照該公司及美国机械工程学会法規所推荐的程序。

一般的試驗程序

为了保証煤床达到平衡的状态，在每次試驗开始前数小时，将負荷調整到所需要的数值。对空气流率亦加以調節，使过量空气大致达到需要的数值。大部分的試驗中，二次风流率被調節到所需要的最低限度，以避免过多的冒烟及飞灰。但是，曾有二次試驗中，使用过比最低量大得很多的二次风。

当条件許可时，在开始試驗之前和試驗完毕之后，将灰坑清洗，取出足以代表在試驗完毕后排出灰渣的試样。条件不許可时，则每隔若干时间通过六个觀察門在炉排的排灰端取出試样。數次試驗中，在上述两个位置都取出試样，以便檢查炉排上的試样的准确性。

空气流率經過最后的調整，引风机出口处的过量空气达到需要的数值时，就开始試驗。实际的試驗連續时间最多为四小時，時間的长短决定于某些测量能否順利进行。在十一次試驗中，在空气預热器或引风机烟气成分，在炉膛出口测量的前后测量的。有一次試驗将炉膛出口处的测量中途停下，在恢复炉膛出口测量之前，进行第二次空气預热器的测量，其他的工作程序与上述十一次試驗相同。最后的三次試驗，在接近炉膛高度二分之一的地位，测量烟气的温度和成分。在这三次試驗中，其中有一次，空气預热器測量是在試驗开始前和終止时进行的，

而其余两次試驗的进行，则在炉膛出口处的测量与較低的高度的测量之間进行，并在空气預热器上另作一次测量。空气預热器处的温度，15 次試驗中有 12 次是用紀錄式电位計与烟气成分的数据同时測量的。但是，在三次試驗中，温度是用手提式电位計与炉膛横向同时測量的。

在試驗开始时采取煤样，取到所需要的总試样大小为止。每次都將盛煤容器装滿，以减少水分的变化。

計算方法

烟气温度

本文前面曾談到，除有些点上的讀數會按面积加以調整过的外，取各測点上讀數的算术平均數作为炉膛出口的烟气温度。

为了将試驗中所用的 E 型和 G 型輻射护罩的性能与 MHVT 进行比較，曾作了多次的試驗 (MHVT 被广泛地用作标准)。但是因为这一台炉子中的温度波动很快，波动范围很大，不能从这些試驗中得出結論。因此，采用过去在一臺温度比較稳定的炉子中，进行研究时，所得出的因數，是将测量的温度根据 MHVT 的标准加以修改。此項因數包括校准各热电偶的修整因數。

空气預热器处的温度，是将試驗中所量的數值，經热电偶的校准加以修整后以算术平均方法取得。

烟气成分的数据 由于許多測点上的氧濃度过高，不能由自动式氧紀錄器量出，因此，炉膛出口处的烟气成分在各取样位置变动很大。我们认为，空气預热器出口处的烟气成分，比較能够代表炉膛中的一般情况，这是因为，气体已在炉膛与空气預热器之間混合。由于空气預热器为管式的，而且鍋炉外壳的密封良好，在上述的两个地位之間几乎不漏气。

在开头的几次試驗中，曾发现，引风机出口处的某一点的烟气成分，基本上与空气預热器出口处的平均數值相同。因此有可能把該点的成分当作炉膛中的平均數值。曾經考慮到，引风机軸是否有漏气的可能，但是，在将量出的氧濃度繪出曲綫之后，看出了并沒有因为这問題引起任何誤差。这个情况可从图 4 看出，图 4 是将空气預热器出口处的氧濃度平均讀數对引风机出口处的讀數，所繪出的曲綫。当引风机的氧濃度低于空气預热器的氧濃度时，差

表 1 美国机械工程学会 1951 年 6 月在印第安那州准丁市
2 号锅炉所进行的炉膛吸热试验的数据和结果

1. 試驗序号	1	2	3	4	5	6	7	8	9	10	11	12	13	14	15
2. 日期	6/11	6/12	6/13	6/14	6/15	6/16	6/17	6/18	6/19	6/20	6/21	6/22	6/23	6/25	6/26
3. 开始試驗時間	下午 上半 3:05	下午 上半 3:21	下午 上半 3:39	下午 上半 3:50	下午 上半 3:00										
4. 實際的試驗時間(時)(^(a))	4.00	2.66	4.05	3.00	3.50	3.00	3.00	3.00	3.00	3.00	3.00	3.00	3.00	3.00	3.00
5. 經過調整的蒸氣流量(1000 磅/時) (磅/吋 ² 表壓)	1.27	1.18	1.21	1.62	1.67	86	123	88	91	123	161	83	84	123	164
6. 過熱器出口聯管處的壓力(磅/吋 ² 表壓)	894	890	902	900	900	892	883	887	886	893	901	887	897	894	894
7. 過熱器出口聯管處的蒸氣溫度(°F)	744	736	746	739	732	739	740	740	731	738	724	728	722	737	737
8. 炉前樣給煤率(磅/時)	13,554	12,331	12,816	16,953	17,011	9,226	12,871	9,293	9,607	13,250	17,269	8,672	8,786	12,828	17,389
9. 炉排速度(呎/時)	10.0	9.6	11.4	11.0	11.0	7.8	9.4	7.4	8.8	10.0	6.8	6.8	9.4	10.0	10.0
10. 炉排末端的灰的深度(吋)	2.00	1.50	1.50	1.25	1.50	1.25	1.00	1.25	2.00	1.50	1.50	1.50	1.25	1.25	1.50
11. 烟函中的烟灰負荷(每磅煤中所含的 磅數)	0.0050	0.0017	0.0032	0.0075	0.0073	0.0062	0.0066	0.0020	0.0050	0.0068	0.0093	0.0036	0.0050	0.0101	0.0101
12. 灰坑的排出物(每磅煤中的磅數)	0.0692	0.0798	0.0733	0.0653	0.0673	0.0642	0.0645	0.0742	0.0674	0.0693	0.0737	0.0731	0.0724	0.0661	0.0646
13. 整的碳損失(每磅煤中的磅數)	0.0021	0.0085	0.0035	0.0058	0.0056	0.0024	0.0021	0.0032	0.0015	0.0031	0.0050	0.0027	0.0018	0.0022	0.0047
14. 估計的真射入爐膛中的灰渣(每磅煤 中的磅數)	0.0930	0.0324	0.0602	0.1420	0.1392	0.1176	0.1262	0.0381	0.0954	0.1289	0.1769	0.0688	0.0648	0.0958	0.1910
15. 二次風的流率(每磅燃煤的磅數)															
16. 後面的二次風	0.78	0.88	0.90	0.90	0.57	1.05	1.05	0.98	1.44	0.82	0.74	1.00	1.00	0.96	0.85
17. 回收除全器中的灰渣時	0.12	0.13	0.13	0.10	0.06	0.17	0.12	0.11	0.16	0.12	0.09	0.13	0.13	0.12	0.09
18. 回收最後的烟道中的灰渣時	0.34	0.39	0.39	0.30	0.23	0.50	0.36	0.31	0.49	0.37	0.26	0.38	0.37	0.35	0.28
19. 在給煤器下面的 在給煤器上面的	0.38	0.42	0.42	0.42	0.32	0.54	0.39	0.38	0.54	0.40	0.27	0.66	0.66	0.38	0.29
20. 二次風溫度(°F)	104	93	84	85	320	97	106	97	101	88	85	93	94	99	98
21. 二次風占總的空氣量的百分比(%)	14.3	19.0	17.3	17.2	8.9	16.6	14.7	16.7	18.7	11.8	12.7	16.5	16.5	15.4	14.0
22. 從爐膛中出來的調整過氣體的平均 溫度(°R)	1695	1783	1797	1928	1914	1568	1753	1657	1638	1670	1745	1592	1616	1754	1796
23. 從鍋爐中出來的氣體其平均 成分(占干氣體的百分比)(b)	12.98	15.27	13.86	14.28	14.14	10.77	11.70	13.98	11.84	11.26	12.58	12.35	12.65	12.64	12.48
24. CO ₂ +SO ₂	5.96	3.31	4.94	4.76	4.61	8.53	7.44	4.81	7.28	7.96	6.42	6.69	6.34	6.35	6.54
25. O ₂	81.06	81.42	81.20	80.96	81.24	80.71	80.86	81.22	80.88	80.79	81.00	80.96	81.01	81.01	80.98
26. 引风机处的过量空气(%)	37.92	16.85	29.27	27.51	22.82	65.62	52.69	27.42	51.29	58.36	41.70	45.12	41.58	41.52	42.88
27. 燃燒用的干空氣(每磅燃煤的磅 數)(c)	12.92	10.93	12.15	11.71	13.42	15.62	14.60	12.15	14.87	14.79	13.25	18.65	13.37	13.38	13.40
28. 引风机处的湿烟气(每磅燃煤的磅 數)(d)	14.12	12.11	13.30	12.84	14.55	16.81	15.81	13.29	15.55	15.98	14.41	14.84	14.57	14.56	14.61
29. 進入空氣預熱器的烟氣體的平均溫 度(°F)(d)	481	452	466	513	518	441	455	412	435	490	523	415	416	469	518

(續表)

30. 从空氣預熱器出來的烟氣平均溫度 (°F) ^(e)	367	353	364	392	394	334	361	316	330	364	386	316	318	349	387
31. 進入空氣預熱器的空氣平均溫度 (°F) ^(d)	115	117	108	109	110	118	125	119	120	109	103	114	117	107	115
32. 从空氣預熱器出來的空氣平均溫度 (°F) ^(d)	294	295	282	294	298	285	298	285	290	291	296	284	285	310	305
33. 燃用煤的低熱值 (千英熱單位/時) ^(f)	156,600	142,600	149,400	197,300	200,000	107,700	152,900	108,700	113,200	152,800	199,900	101,500	102,900	149,700	202,000
34. 進入爐膛的總空氣量的顯熱 (千英熱單位/時) ^(g)	7,050	5,020	5,470	8,140	9,390	5,510	8,030	4,120	5,310	8,180	10,030	4,220	4,250	6,830	10,650
35. 復雜的灰道顯熱 (千英熱單位/時) ^(g)	180	53	110	370	370	140	240	43	120	250	490	74	70	170	520
36. 由於未燃燒的碳所引起的熱損失 (千英熱單位/時)	420	1,510	650	1,410	1,380	310	390	1,110	210	600	1,250	340	230	410	1,180
37. 爐膛中淨的可用熱量 (千英熱單位/時) ^(h)	163,400	146,200	154,400	204,400	208,400	113,100	160,800	111,800	118,500	160,700	209,300	105,500	107,000	156,300	211,900
38. 火爐出口處的濕氣體的顯熱 (千英熱單位/時)	79,600	70,000	80,200	111,300	120,700	62,100	92,800	53,400	63,000	91,200	113,200	52,700	53,400	85,500	119,500
39. 从爐膛出來的灰和飛灰中的顯熱 (千英熱單位/時)	730	350	530	1,440	1,420	560	910	270	510	920	1,630	360	430	720	1,800
40. 由於爐膛的輻射所引起的熱損失 (千英熱單位/時)	610	580	600	600	590	580	550	570	610	620	580	590	590	600	610
41. 整的顯熱和輻射損失 (千英熱單位/時)	80,900	71,000	81,400	113,400	122,700	63,200	94,300	54,200	64,100	92,800	115,200	53,600	54,400	86,800	121,900
42. 火爐吸收的熱 (千英熱單位/時)	82,500	75,200	73,000	91,000	85,600	49,800	66,500	57,600	54,400	67,900	94,000	51,900	52,600	69,500	90,000
43. 進入鍋房的總空氣量的顯熱 (千英熱單位/時)	1,490	1,230	1,060	1,390	1,680	1,330	2,110	1,100	1,350	1,370	1,300	990	1,060	1,120	2,000
44. 鍋爐中可用總熱量 (千英熱單位/時)	158,100	143,800	150,400	198,600	197,100	109,100	165,000	109,900	114,600	154,200	201,100	102,500	103,900	160,800	204,000
45. 由於鍋爐的輻射所引起的熱損失 (千英熱單位/時)	1,210	1,160	1,200	1,200	1,170	1,180	1,150	1,100	1,140	1,220	1,230	1,160	1,160	1,190	1,220
46. 从鍋爐出來的濕氣體的顯熱 (千英熱單位/時)	13,700	10,100	12,000	17,000	18,900	9,760	14,200	7,270	9,250	14,900	19,000	7,510	7,540	12,500	19,400
47. 从鍋爐出來的灰和飛灰的顯熱 (千英熱單位/時)	160	160	150	190	200	140	110	110	160	220	100	110	140	200	200
48. 鍋房的總熱損失 (千英熱單位/時) ^(j)	15,500	13,000	14,000	19,800	22,700	11,400	14,800	9,600	10,700	16,900	21,700	9,100	9,000	14,200	22,000
49. 傳送到蒸汽的熱量 (千英熱單位/時)	142,700	130,900	136,400	178,900	180,000	97,600	140,100	100,300	103,900	137,400	179,500	93,400	94,900	136,600	182,000
50. 鍋爐中可用等熱量 (千英熱單位/時·平方呎) ^(k)	93.3	88.4	88.1	116.7	118.9	64.6	91.7	63.8	67.6	91.7	119.4	60.2	61.1	89.2	120.9
51. 爐膛中吸熱 (千英熱單位/時·平方呎)	47.1	42.9	41.7	51.9	48.9	28.4	35.0	32.9	31.1	38.8	53.7	29.6	30.0	39.7	51.4
52. 爐膛吸熱率 (%)	50.5	51.4	47.3	44.5	41.1	44.0	41.4	51.5	46.0	42.3	45.0	49.2	49.1	44.5	42.5

附注：(a) 仅包括获得数据的时间；有数据

(b) 包括鼓风机的空气及漏气。

(c) 因故停歇，故时间较长。

(d) 在引风机出口处测量的。

(e) 用热电偶测量的。

(f) 对未燃烧的碳进行过调整。

(g) 包括由于未燃烧的碳引起的热损失。

(h) 以1752平方呎的有效辐射受热面为根据。

表2 煤和灰的特性

1. 試驗序号	1	2	3	4	5	6	7	8	9	10	11	12	13	14	15
2. 日期	6/11	6/12	6/13	6/14	6/15	6/16	6/18	6/19	6/20	6/21	6/22	6/23	6/25	6/26	
炉前样煤的工业分析(%):															
3. 水分	8.9	8.6	8.2	8.9	7.9	8.8	7.4	8.8	7.7	8.8	8.3	7.8	7.8	8.4	8.8
4. 挥发物	39.4	38.9	39.4	38.3	39.3	38.6	40.4	39.1	39.5	39.5	39.3	40.0	40.2	39.4	38.6
5. 固定碳	44.5	45.2	45.1	46.1	45.9	45.8	45.3	45.7	44.4	44.6	44.8	44.6	45.3	45.6	45.6
6. 灰分	7.2	7.3	7.3	6.7	6.9	6.8	6.9	6.8	7.1	7.3	7.8	7.4	7.4	6.9	7.0
炉前样煤的元素分析(%):															
7. 氢	5.7	5.6	5.7	5.7	5.8	5.8	5.7	5.7	5.7	5.8	5.7	5.7	5.8	5.8	5.7
8. 碳	67.0	66.9	67.2	67.1	67.6	67.3	68.2	67.8	68.0	66.6	66.6	67.3	67.3	67.4	66.9
9. 氮	1.5	1.5	1.5	1.5	1.5	1.5	1.5	1.5	1.5	1.4	1.4	1.5	1.4	1.5	1.5
10. 氧	15.8	15.6	15.3	15.8	15.1	15.4	14.4	15.2	14.8	15.6	14.9	14.8	14.7	15.0	15.5
11. 硫	2.8	3.1	3.0	3.2	3.1	3.2	3.3	3.0	2.9	3.3	3.6	3.3	3.4	3.4	3.4
12. 炉前高热值(英热单位/磅)	12,080	12,180	12,160	12,290	12,210	12,400	12,230	12,310	12,070	12,100	12,230	12,240	12,200	12,140	12,140
13. 可磨性(赫德格罗夫指数) 灰融体熔度(°F)(美国 材料试验学会):	61	59	60	59	54	58	57	59	62	55	56	61	57	60	60
14. 开始变形的温度	1940	1940	2000	1940	2030	2000	2130	2000	1940	2000	1940	2000	1970	1940	1940
15. 软化温度	2130	2050	2100	2180	2100	2130	2150	2230	2150	2090	2100	2080	2170	2100	2100
16. 熔化温度 煤的筛分析(留在下列各种尺寸的筛上的果积的百分比)	2260	2180	2360	2260	2470	2310	2420	2420	2420	2360	2360	2420	2420	2260	2260
17. 1/2 小时	0.08	0.29	0.23	0.38	0.24	0.16	0.25	0.23	0.05	0.07	0.10	0.14	0.33	0.05	0.06
18. 1/1 小时	1.92	2.47	1.94	2.00	1.56	1.38	1.37	0.71	0.79	1.21	0.96	1.73	1.36	1.10	0.96

(續表)

19. 1 吨	16.7	15.8	16.6	15.6	15.8	14.8	13.7	13.8	10.8	12.5	11.6	15.0	13.3	11.5	10.9
20. 3/4 吨	29.5	25.3	29.9	30.5	29.6	27.4	28.0	25.7	20.3	23.8	22.4	25.8	24.1	21.4	20.6
21. 1/2 吨	51.2	45.8	50.4	52.2	53.7	53.2	50.4	51.6	43.7	47.0	44.9	47.2	46.1	45.0	42.3
22. 3/8 吨	61.8	56.3	59.7	62.1	62.3	61.9	62.4	63.2	56.1	58.8	53.2	58.1	56.8	57.0	54.4
23. 1/4 吨	72.7	72.0	72.3	75.8	74.5	74.1	71.6	77.9	73.7	76.2	72.0	74.3	73.2	74.1	71.7
24. 3/16 吨	76.0	76.3	75.6	79.1	77.9	77.1	75.0	81.0	77.9	79.5	75.9	77.8	77.0	77.9	75.9
25. 1/8 吨	83.4	85.3	82.7	86.2	84.6	84.0	81.8	85.8	85.5	86.9	83.4	85.2	84.9	85.7	84.0
26. 0.055 吨	90.9	91.7	89.0	91.7	90.7	90.6	87.4	89.7	90.6	92.5	89.7	92.3	91.5	90.9	90.3
除尘器的灰渣:															
27. 可燃物(%)	18.5	28.0	13.3	13.2	18.3	10.0	12.4	22.1	10.4	8.2	13.8	16.8	19.4	13.0	20.3
28. 灰分(%)	86.5	72.0	86.7	86.8	81.7	90.0	87.6	77.9	89.6	91.8	86.2	83.2	80.6	87.0	29.7
29. 留在 U.S. 20 号筛上的累积的百分比	1.1	1.4	0.2	2.2	6.6	1.2	—	0.6	0.2	1.5	2.8	0.6	1.4	1.0	4.3
30. 留在 U.S. 50 号筛上的累积的百分比	10.5	17.8	7.6	14.0	17.4	5.6	—	12.9	4.9	11.7	22.4	9.8	13.1	11.1	23.4
31. 留在 U.S. 100 号筛上的累积的百分比	33.5	35.9	26.0	38.0	44.7	28.8	—	35.8	25.4	43.8	51.7	31.1	31.3	38.8	64.7
32. 留在 U.S. 200 号筛上的累积的百分比	69.1	69.1	66.6	69.9	75.4	46.7	—	71.3	68.6	77.3	79.2	69.0	68.8	75.0	88.4
灰坑的排出物:															
33. 可燃物(%)	—	41.9	—	7.3	6.3	—	—	10.5	—	3.7	6.0	—	—	2.3	4.1
34. 灰分(%)	—	58.1	—	92.7	98.7	—	—	89.5	—	96.3	95.0	—	—	97.7	95.9
35. 可燃物(%)	2.1	—	4.2	2.5	1.8	2.7	2.0	—	1.4	3.5	1.8	2.9	1.6	1.3	—
36. 灰分(%)	97.9	—	95.8	97.5	98.2	97.3	98.0	—	98.6	96.5	98.2	97.1	98.4	98.7	—

額最大。因此認為，發生差別的原因，是由於條件的改變，而不是因為空氣之漏入系統中。

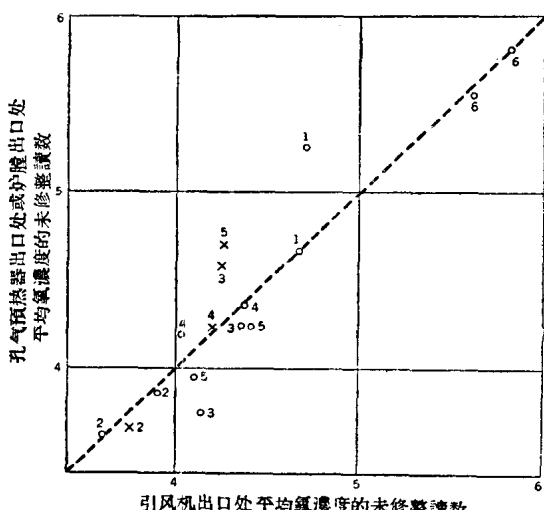


图4 引风机的氧浓度与空气预热器及炉膛出口处的浓度的比较

說明：○代表空氣預熱器的平均數；
 ×代表爐膛出口處的平均數；
 數字代表試驗序號；
 重複的點說明試驗時進行了多次的測量。

亦曾考慮到，上述結果一致的原因是否因为在选择引风机气道中的取样点时，偶然选到合式的地位所致。因此，对该气道进行了研究，其结果示于图5。图中有一点，该点上有4个数值，这些数值是在測驗中以不同的时期量出的。由于这一点上的变化

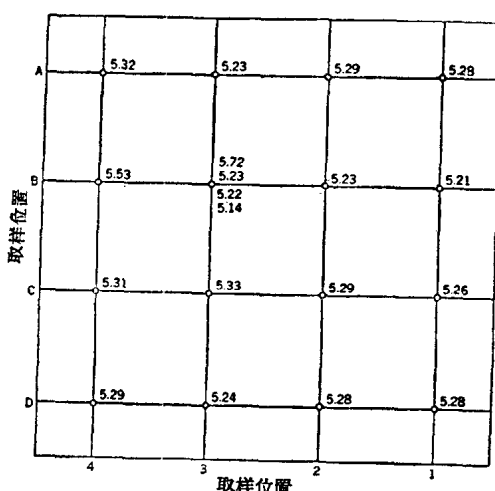


图5 引风机出口气道中氧浓度的分布
(图上的数字表示未经修整的氧气表
读数)

程度大于整个測驗中的变化，我們的結論是烟气被风机混合得很好，而且成分的变化系由于炉膛中一般情况的变化。因此，我們決定，在計算物质和热平衡时，采用风机出口处的烟气成分。此項数据不但能更好地代表任何時間的一般情况，而且，由于測量简单，一次試驗中能作出多次的測量。所得按時間平均的平均数比在系統中其他的点上作一次或两次长时间的測量所得更好。

我們相信，只要鍋爐外殼的密封和風機的軸封相當好，上述方法可以很方便地應用于帶有管式空氣預熱器的其他爐子。

整个鍋爐的热平衡 由于对送入炉子中的煤，沒有直接秤出重量的設備，所以必須作出整个鍋爐的热平衡煤和燃燒空气中的热輸入，以及总的热損失，均从所用的煤量算出。傳递到蒸汽的热量等于輸入热量与損失的差。傳递到蒸汽的热量亦可从每小时中的蒸汽流量和蒸汽性质求得。这两个測定从燃燒产物傳递到蒸汽的热量的方法，对計算給煤率提供了所需要的資料。

炉热和物质平衡

炉膛吸热的算法是以求出可用净热量与炉膛燃烧产物中的热损失及炉子外壁由于辐射和对流所引起的热损失的差来计算。可用净热量等于所用燃料的低热值(经过对未燃烧的可燃物进行调整)、回收的灰渣的显热及燃烧空气在80°F以上的焓的和。预热空气的焓和量是利用进入预热器和从预热器出来的气体和空气温度的热平衡，以及烟气中各成分的量求出。未加热的空气量等于上述各项的差，对进入加热器的温度算出它的焓。

在蒸汽負荷及過量空氣變動範圍很大的5次試驗中，對煙氣中的煙灰濃度進行了測定。其他各次試驗的數值則從這些數據用內插法求得。由於沒有將飛灰分析，而假定所含可燃物的量等於捕集的灰渣中所含的量，而捕集的灰渣中所含可燃物的量，在各次試驗中均已測量。此項假定是根據豪爾頓和恩達爾（Holton and Engdahl），及莫魯、豪爾頓和魏格納（Morrow, Holton and Wagner）所做研究的結果。設有測定送回爐膛中的灰渣量的設備。根據前面所列各作者所提供的對除塵器預測的性能及數據，我們估計，在爐膛出口處的灰渣濃度是烟囱中的飛灰濃度的20倍。從這些數據和假定，以及灰坑排出物中所含可燃物，可以算出烟囱與灰坑之間的灰和未燃燒的碳的分布。

在作热平衡时假定，炉膛出口处的灰渣温度与

表3 量出的炉膛中气体温度(°F)^(a)

門 的 代 號	測 試 點	試 驗 序 號												爐 膛 中 段 的 溫 度							
		1	2	3	4	5	6	7	8	9	10	11	12	13	14	15	門 的 代 號	測 試 點	13	14	15
A	1	1,230	1,430	1,510	1,920	1,540	1,370	1,470	1,490	1,370	1,610	1,470	1,450	1,700	1,730	H	1	1,760	1,680	1,950	
	2	1,340	1,520	1,700	1,870	1,580	1,450	1,570	1,600	1,770	1,410	1,450	1,620	1,610	1,800	1,630		2	1,930	1,980	1,760
	3	1,380	1,600	1,700	1,760	1,560	1,480	1,500	1,620	1,660	1,490	1,440	1,660	1,580	1,670	1,550		3	1,920	1,920	1,630
B	1	1,350	1,550	1,670	2,110	1,820	1,450	1,730	1,550	1,500	1,550	1,730	1,550	1,570	1,780	2,010	J	1	1,690	1,730	2,270
	2	1,430	1,870	1,800	2,020	1,720	1,480	1,750	1,720	1,820	1,430	1,610	1,790	1,740	1,880	1,780		2	1,650	1,850	2,310
	3	1,450	1,950	1,870	1,830	1,660	1,510	1,640	1,750	1,840	1,580	1,530	1,760	1,740	1,720	1,630		3	1,730	2,120	2,140
C	1	1,470	1,630	1,610	2,230	2,000	1,500	1,850	1,560	1,510	1,470	1,960	1,520	1,570	1,730	2,140	K	1	1,340	1,600	1,690
	2	1,770	1,950	1,800	2,080	1,940	1,650	1,720	1,750	1,760	1,640	1,800	1,690	1,760	1,800	1,910		2	1,410	1,700	1,920
	3	1,810	1,990	1,950	1,970	1,890	1,710	1,700	1,780	1,830	1,640	1,670	1,690	1,790	1,690	1,750		3	1,480	1,730	1,870
D	1	1,820	1,630	1,650	2,040	2,080	1,390	1,340	1,460	1,440	1,760	2,080	1,430	1,470	1,790	2,100	L	1	1,700	1,410	1,220
	2	1,990	1,880	1,900	2,170	2,180	1,600	1,900	1,610	1,630	1,970	2,190	1,600	1,610	1,940	2,180		2	1,820	1,630	1,270
	3	2,060	1,960	1,980	2,120	2,220	1,710	1,990	1,700	1,710	2,020	2,280	1,690	1,670	2,000	2,210		3	1,910	1,510	1,480
E	1	1,450	1,480	1,620	1,320	1,600	1,390	1,350	1,560	1,490	1,420	1,160	1,370	1,380	1,460	1,230	M	1	1,610	1,850	1,980
	2	1,470	1,700	1,710	1,550	1,720	1,460	1,670	1,700	1,660	1,470	1,350	1,580	1,540	1,520	1,510		2	1,830	2,240	2,270
	3	1,430	1,760	1,780	1,630	1,730	1,520	1,640	1,670	1,720	1,340	1,410	1,620	1,370	1,480	1,530		3	1,930	2,250	2,160
F	1	1,860	1,660	1,670	1,590	1,810	1,430	1,660	1,630	1,500	1,780	1,360	1,480	1,560	1,680	1,430	N	1	1,430	1,920	1,870
	2	1,720	1,870	1,880	1,820	1,970	1,580	1,850	1,790	1,710	1,770	1,570	1,640	1,760	1,670	1,730		2	1,470	1,770	1,850
	3	1,710	1,950	1,990	1,900	2,040	1,760	1,800	1,840	1,800	1,600	1,680	1,690	1,820	1,870	1,730		3	1,490	1,720	1,980
G	1	1,820	1,580	1,640	1,990	1,690	1,360	1,630	1,510	1,420	1,720	1,700	1,460	1,470	1,620						
	2	2,050	1,860	1,790	2,090	2,060	1,550	1,880	1,610	1,560	1,940	2,200	1,610	1,610	1,820	1,870					
	3	2,080	2,010	2,020	2,120	2,180	1,740	2,060	1,720	1,660	2,030	2,190	1,680	1,670	1,960	1,980					

注(a): 没有对逆磁作用进行调整。

气体温度相同，而且，复射灰渣的温度是最后锅炉烟道中的气体温度与除尘器进口处的气体温度的平均数。从灰坑排出的灰渣温度，假定为 680°F 的恒数。对所有固体的燃烧产物，采用了每磅每度华氏表 0.27 英热单位的平均比热数值。

炉膛出口处气体的焓，是根据赫克 (Heek) 表，从各种组成的气体的量，和在 80°F 以上各气体所含热量来计算的。锅炉外壁上的热损失系从美国锅炉制造厂协会的标准辐射损失图上取得，该图登载于 1946 美国机械工程学会的陆用锅炉动力试验法規中。炉膛中的辐射热损失假定为整个锅炉的一半。

試驗結果

試驗的說明

第 4、5、11 和 15，这四次試驗是在满負荷下进行的；第 1、2、3、7、10 和 14，这六次試驗是負荷在四分之三的情况下进行的；第 6、8、9、12 和 13 这五次試驗是在半負荷下进行的。試驗目的是测定負荷、过量空气、以及各种不同二次风对炉热吸收效率的影响。过量空气的变动范围最低 17%（在四分之三的負荷下）最高 65%（在低負荷下）。由于引风机容量的限制，在满負荷下，过量空气的变动范围較小。表 1 列出十五次試驗的所有运行数据和所得結果。

所用燃料为肯塔基州俄亥俄那 9 号煤床的高揮发物高碳的烟煤。这种煤虽然是用露天方法采取的，它的成分在各次試驗中，包括所含湿度，都很均匀。表 2 列出燃料的特性以及各种固体的灰渣中所含可燃物。

溫度的分布及气体的成分

因为溫度的分布，气体的成分，以及总的效率都是重要的运行特性，在各测点上的这几种的数据都在表 3 和表 5 列出。在第 13、14 和 15，这三次試驗中，测量了炉膛中段和炉膛的出口。表 3 所列的溫度，系用高速热电偶讀出的数值。吸热計算中的平均数字加上表 4 所列調整数值，变为 MHVT 的标准。該表系根据前面曾經提到的，早期文献中所發表的数据編成的。

表 4 上的气体成分是用过量空气的百分比来表示的，因为大家对于这种数值，比用仪表来测量的氧的百分比，較为熟悉。

各次試驗中的溫度和过量空气均繪出分布图。研究这些图線后，发现气体溫度和过量空气，主要是

表 4 将測量的溫度加上下列調整
數值改为拔柏葛公司的 MHVT
標準。美国机械工程學会在印
第安那州淮丁市 2 号锅炉所進
行的炉膛吸热試驗

量出的溫度 ($^{\circ}\text{F}$)	調整的數值 ($^{\circ}\text{F}$)	量出的溫度 ($^{\circ}\text{F}$)	調整的數值 ($^{\circ}\text{F}$)
1,600	0	2,100	39
1,700		2,200	47
1,800	15	2,300	55
1,900	23	2,400	62
2,000	31	2,500	70

与炉膛流过的烟气的质量流量有关，而不受負荷和过量空气的影响，虽然这两种因素控制着质量流率。图 6 示 3 次典型的試驗的分布图，这些图足以說明在一整套試驗中所得到的各种情况。利用表 3 和 5 的数据，可以很方便地繪出其他各次試驗的分布图。

最均匀的过量空气分布，发生在质量流率低的第 13 次試驗中。最小的数值发生在接近炉膛出口的平面的中央，而且这数值在两个側墙的方向，略有提高。从前墙到后墙則无大变化。当质量流率提高到每小时 170,000 磅/时，分布情况有改变，即从梯度由中央到两侧的状态，改变为如第 3 次試驗所示，梯度由前到后。因而与质量流率低的情况相比，梯度亦稍陡。当质量流率提高时，仍能保持梯度从前到后的情况，但是，分布情况在最大的流率下迅速改变，如第 11 次的試驗。

从第 13 次試驗的两个过量空气的图中，可以看出，当各种气体在炉膛中向上流时，气体混合的影响。炉膛出口处的分布状态与在高度較低的状态，大致相同，但是，当气体达到防渣管时，高度較低的梯度就平緩得很多。这可从各等温綫之間比較大的距离中看出。

过量空气图对于气体从炉膛中出来时的速度分布，提供了綫索。以前曾談过，平均的过量空气是从以引风机混合后烟气分析中得到的。因此，如数值与炉膛出口測量所得的平均数不相符合时，即說明炉膛出口处的速度分布不均匀。例如，在第 11 次試驗图所示近 70% 或 80% 上下的等位綫代表各区域的平均数，而真正的平均数却为 42% 左右。这說明

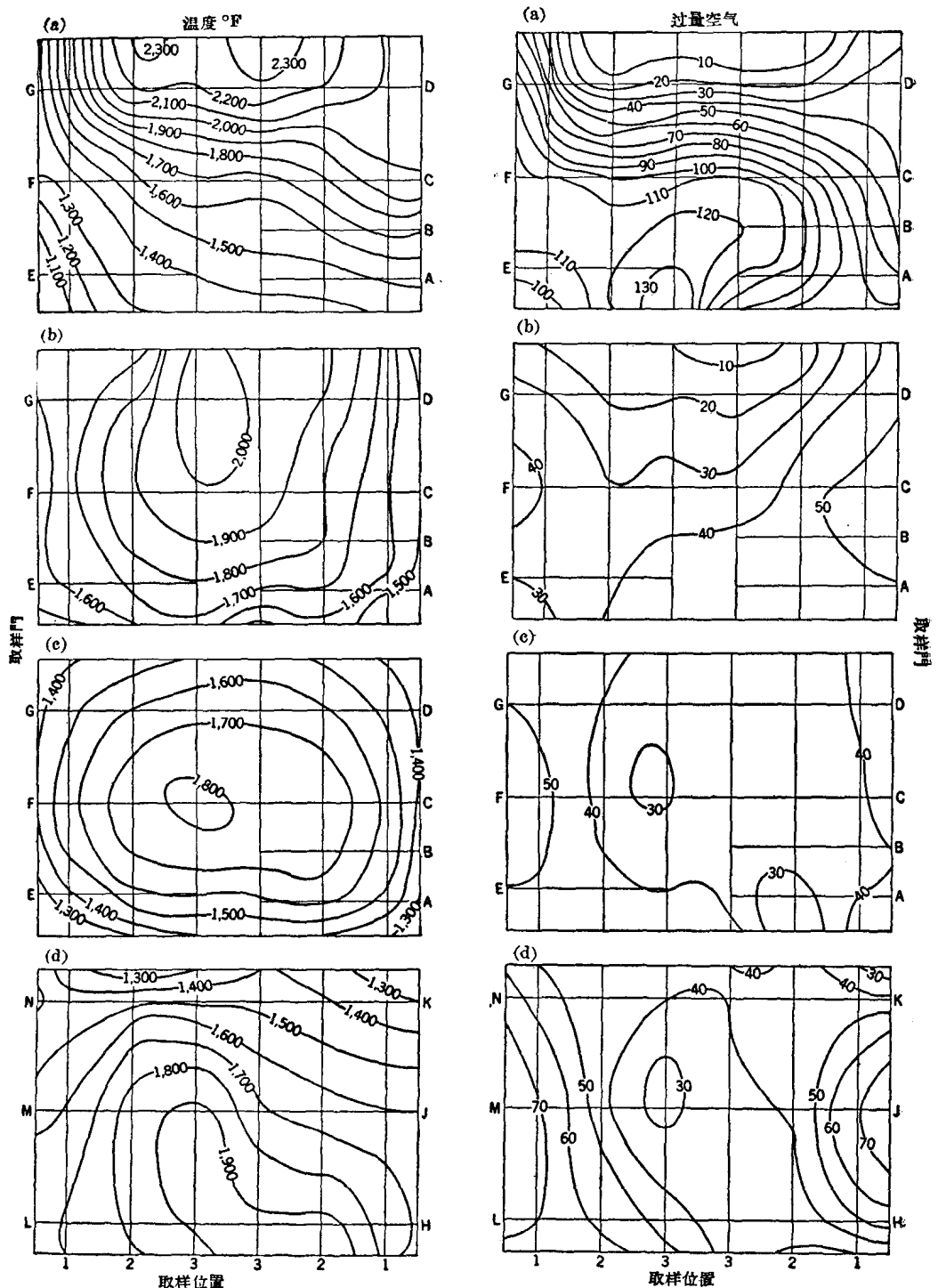


图 6 在各种不同的烟气质量流率下的炉膛内温度和过量空气的分布

- (a) 第 11 次試驗, 滿負荷, 过量空气 41.7%; 二次风 12.7%, 烟气 249,000 磅/时; 炉膛出口;
- (b) 第 3 次試驗, 中級負荷, 过量空气 29.2%; 二次风 17.3%, 烟气 170,000 磅/时; 炉膛出口;
- (c) 第 13 次試驗, 低負荷, 过量空气 41.6%; 二次风 16.5%, 烟气 128,000 磅/时; 炉膛出口;
- (d) 第 13 次試驗, 低負荷, 过量空气 41.6%; 二次风 16.5%, 烟气 128,000 磅/时; 炉膛中段。

表 5 炉膛中的过量空气(%)^(a)

門的代号	測点	試驗序号												爐膛中段的溫度							
		1	2	3	4	5	6	7	8	9	10	11	12	13	14	15	測点	試驗序号	13	14	15
A	1	42.5	29.6	47.4	22.5	35.9	71.7	69.5	21.7	46.2	98.3	69.2	35.2	40.4	45.0	48.5	H	1	47.3	67.8	41.7
	2	42.3	26.9	45.7	21.1	43.6	67.1	63.4	21.2	31.1	98.3	94.8	30.4	24.2	46.0	56.0	J	2	32.4	45.5	105.1
	3	44.5	21.0	46.3	25.7	48.0	71.3	75.9	19.0	37.2	110.2	109.0	35.1	57.1	59.2	72.6	I	1	34.9	68.0	163.4
B	1	42.3	38.9	53.1	20.5	33.9	66.2	47.5	31.1	56.0	75.9	63.3	36.3	35.3	43.1	39.8	K	1	69.6	41.7	24.7
	2	46.3	24.5	48.3	25.7	52.8	70.7	60.5	21.6	38.0	87.2	104.5	31.5	33.7	42.4	69.6	L	2	41.6	24.2	16.8
	3	44.5	12.6	41.5	38.4	64.1	67.3	72.2	20.2	39.2	93.2	120.2	35.9	34.9	54.9	90.5	M	3	37.7	16.9	50.0
C	1	45.1	38.4	62.5	10.1	39.5	70.7	52.4	28.6	55.2	84.4	52.7	42.6	38.8	40.2	25.4	N	1	43.3	31.9	78.1
	2	45.4	20.0	45.4	32.3	37.2	63.6	87.7	25.7	42.1	84.6	83.8	38.3	33.8	36.7	60.3	P	2	44.1	20.7	46.0
	3	43.6	10.0	33.9	36.8	51.2	60.5	94.6	24.7	38.1	94.6	109.6	34.9	33.7	44.3	82.8	R	3	40.7	18.3	30.1
D	1	43.3	38.7	43.1	23.2	7.1	79.0	36.3	36.7	53.6	61.7	32.3	44.1	40.2	32.3	28.6	S	1	70.4	106.2	84.4
	2	42.0	17.9	25.8	16.9	3.3	62.5	33.0	31.7	47.3	37.7	18.7	43.3	36.7	26.8	30.6	T	2	57.8	114.6	156.2
	3	43.6	7.1	15.3	27.0	4.4	50.9	34.6	26.3	39.6	43.4	18.8	36.5	35.0	17.7	31.9	U	3	46.8	112.9	192.8
E	1	86.6	18.3	33.2	38.4	77.6	73.7	80.0	43.9	70.8	114.6	107.2	58.1	48.5	58.9	59.6	V	1	71.7	60.1	53.2
	2	68.8	11.6	38.7	50.8	73.2	82.8	65.2	32.1	61.6	106.2	118.2	51.4	44.4	65.1	74.8	W	2	44.6	21.6	21.8
	3	71.7	11.5	43.6	41.6	71.8	75.6	77.1	23.3	51.7	98.3	130.2	44.3	39.6	55.2	70.6	X	3	28.4	11.2	49.7
F	1	71.7	11.0	39.8	32.3	63.0	72.9	63.0	39.2	74.5	73.0	109.0	61.6	63.2	60.6	65.0	Y	1	56.0	10.7	27.8
	2	63.0	7.6	31.0	32.0	48.0	69.5	50.0	26.4	55.8	68.1	99.4	46.2	35.8	53.5	62.8	Z	2	43.9	16.0	28.4
	3	63.6	8.7	34.4	38.1	36.4	55.1	70.0	75.7	42.8	94.6	104.5	43.0	29.3	39.2	68.9	A	3	40.4	17.2	28.1
G	1	61.8	19.1	30.3	14.1	69.2	86.9	57.8	44.3	72.4	52.6	60.0	66.0	47.6	61.3	53.9	B	1	49.0	39.6	30.4
	2	35.3	7.6	18.8	19.1	16.4	70.2	35.1	29.4	61.7	34.9	15.8	45.0	39.0	33.2	21.6	C	2	37.7	39.8	20.2
	3	37.7	4.5	19.2	32.8	10.1	49.0	28.1	22.8	48.4	37.9	21.2	38.0	33.2	38.0	21.6	D	3	37.7	39.8	20.2

注：(a) 从氧度計讀數得出的，并經對氧度計的核准因數進行調整。

了，在过量空气低于 42% 的区域中的质量速度，可能比炉膛出口处的其他区域中的速度高得很多。在第 11 次試驗中，这个区域接近后墙的炉膛出口的四分之一左右。同样在第 3 次試驗中，炉膛出口后面的三分之一区域中的速度比較高。在第 13 次試驗中，高度較低，离中心处三分之一的区域中，速度似乎較高，但是，由于平均数的等位綫近似地将該区域对分，在出口处的速度可能相当均匀。

从温度图可以看出，当气体的质量流率提高时，最大的数值从炉膛出口中心处逐渐移至后墙。在低质量流率下(如第 13 次試驗中的)，等温綫基本上与区域中心的高的数值同心的。在中等流率下(如第 3 次試驗)，最大的数值由中心处伸至后墙，其梯度主要发生在从中心处到炉膛的前墙和侧墙的一段中。在高气体流率下(如第 11 次試驗)，梯度从前到后，而且要比在气体流率較低的情况下梯度陡得很多。高数值是在接近后墙地区。

一般說來，高温是发生在过量空气較低的地区中。这种情况可能有两个原因。过量空气較低时，理論的火焰温度較高，且如前所討論过，在过量空气較低的地区中，质量速度显然較高。在高速度下，由于气体停留的时间較短，傳递到周圍的气体显热将更少。在低气体流率下(如第 13 次試驗)，气体的成分相当均匀，而且气体速度变动不多。在这种情况下，高数值在中心部分，因为中心部分的辐射损失将比因靠近炉墙的气体所引起的辐射和对流的总损失为少。

温度的梯度在較低处与炉膛出口之間略为平坦，但是，最大的变化是最高温度从炉前移到中区(第 13 次試驗)。在所做的其他的质量流率較高的試驗中(图中沒有示出)，最高温度从中間的高度向上移到炉膛出口处时，它从炉膛的中央移到后墙。

至于气体成分和速度何以在較低的质量流率下有較好的分布，沒有明显的原因。一般說來，流率提高时，应有較大的紊流，和較好的气体分布。各噴嘴二次风的分布不同，是炉膛中所发生的情况的一个可能原因。

采用热的二次风，对于气体温度或成分的分布沒有显著的影响。我們利用了第 5 次和第 11 次試驗来比較，第 5 次試驗中所用二次风为 320°F ，第 11 次試驗的为 85°F 。两次試驗的总的气体流率几乎相同，第 5 次試驗的为 245,000 磅/时，第 11 次試驗的为 249,000 磅/时。然而，从炉排上进入的总空氣量的百分比，在第 5 次和第 11 次試驗中分别为

8.9 和 12.7。在第 11 次試驗中，靠近左墙时温度的梯度稍为高一些，但差別太小，不足以說明趋向。两次試驗的过量空气的状态几乎相同，不过，第 11 次試驗的一般較高。第 11 次試驗的平均数为 41.7%，而第 5 次試驗平均为 22.8%。

炉膛吸热率

表 1 列出數次試驗中所計算的炉膛吸热率。我們曾企图求出吸热率与过量空气和可用净热量之間的相互关系，但是沒能得到滿意的結果。因此，影响炉膛吸热率一定是由其他因素。渣和灰的沉积对于炉膛性能往往有很大的影响，在这台鍋炉中，可以看出，从煤床下面与上面送入的空气的比例，具有一定影响。对这两个因素，将更詳細地进行討論。

試驗結果的相互关系

为了便于参考，将研究各項数据的相互关系所需要的試驗数据和結果汇总列于表 6。該表还包括渣和灰的效用因素，以及利用这两項因素，調整到理論上洁净的炉墙吸热率。

渣和灰对于炉膛性能的影响

本文前面所提到的，測量的吸热率与运行条件的相互关系未能滿意地求出，是因为沉积在炉墙上的不同程度的渣和灰的缘故。因此利用本文第 2 部分中飞利和密勒(Feeley and Miller)使用孟福特和拜斯(Mumford and Bice)的方法所求得的“效用因素”，将吸热率調整到洁净炉墙时的状况。这些因素的大小自 0.80~0.95(表 6)。

图 7 示出調整到洁净炉墙时的炉膛吸热率与过量空气和可用净热量的关系。在低負荷下(即淨热量較低时)，除第 9 次試驗外，关系都很一致。在中等負荷下，除第 10 次試驗外，关系都一致。在低負荷下，曲綫的斜度比較平坦，这說明了，在低負荷下，过量空气的影响比較小。这种情况与其他各次試驗的結果相一致。

在高負荷試驗中所得的数据，由于数量不足，而且准确性太低，因而不能求得曲綫的准确位置。根据别的炉子上所得經驗，不論在高負荷或中級負荷下，过量空气对于吸热效率的影响，一般是大致相同的，因此，将代表高負荷試驗的曲綫，与代表中級負荷的曲綫，平行地繪出。

我們认为，第 11 次試驗中相互关系所以不一致，是由于試驗数据不准确，因为，当所有其他的試驗条件都相类似时，高負荷下的效率高于中等負荷

表 6 运行条件和结果简表

1. 試驗序号	1	2	3	4	5	6	7	8	9	10	11	12	13	14	15
2. 蒸发量 (1,000 磅/时)	127	118	121	162	167	86	123	88	91	128	161	83	84	123	164
3. 引风机处的过量空气 (%)	37.9	16.9	29.2	27.5	22.8	65.6	52.7	27.4	51.3	58.4	41.7	45.1	41.6	41.5	42.9
4. 二次风占总空气的百分比	14.3	19.0	17.3	17.2	8.9	16.6	14.7	16.7	18.7	11.8	12.7	16.5	16.5	15.4	14.0
5. 二次风的温度 (F)	104	93	84	85	320	97	106	97	101	88	85	93	94	99	98
6. 炉膛中可用净热量 (1,000 英热单位/时·平方呎)	93.3	83.4	88.1	116.7	118.9	64.6	91.7	63.8	67.6	91.7	119.4	60.2	61.1	89.2	120.9
7. 炉膛吸收的热量 (1,000 英热单位/时·平方呎)	47.1	42.9	41.7	51.9	48.9	28.4	38.0	32.9	31.1	38.8	53.7	29.6	30.0	39.7	51.4
8. 炉膛吸热率 (%)	50.5	51.4	47.3	44.5	41.1	44.0	41.4	51.5	46.0	42.3	45.0	49.2	49.1	44.5	42.5
9. 烟道加烟灰的效用因素	0.95	0.85	0.86	0.86	0.80	0.83	0.86	0.84	0.86	0.86	0.85	0.87	0.87	0.86	0.88
10. 调整到洁净的炉墙情况的炉膛吸收热量 (千英热单位/时·平方呎)	49.6	50.5	49.1	60.4	61.1	34.2	44.2	39.2	36.2	45.1	63.2	34.0	34.5	46.2	58.4
11. 调整到洁净的炉墙情况的炉膛吸热率 (%)	53.2	60.5	55.7	51.7	51.4	53.0	48.1	61.3	53.5	49.2	52.9	56.6	56.4	51.7	48.3
按俄佛堡方程计算的 炉膛吸热率 (%)															
12. 原始的 $F = 0.311$	40.5	49.7	43.8	41.6	42.4	33.9	36.0	49.7	39.3	34.4	36.6	42.9	44.1	40.1	35.7
13. 假定的 $F = 0.410$	53.0	65.2	57.5	54.3	55.4	44.3	47.1	65.2	51.4	44.9	47.7	56.3	57.8	52.5	46.6